

УДК 539.3

К ЗАДАЧЕ ДИНАМИЧЕСКОЙ УСТОЙЧИВОСТИ  
ОРТОТРОПНОЙ ПОЛОГОЙ ОБОЛОЧКИ

Геворкян С.Х., Арустамян А.М.

**Ключевые слова:** динамическая устойчивость, колебания оболочки, ортотропная оболочка, пологая оболочка, области неустойчивости.

**Key words:** dynamic stability, vibration of shell, orthotropic shell, declivous shell.

Ս.Խ. Գևորգյան, Ա.Մ. Արուստամյան

Օրթոտրոպ սակավաթեք թաղանթի դինամիկ կայունության խնդրի վերաբերյալ

Առաջարկվող աշխատանքում դիտարկվում է օրթոտրոպ շերտերից բաղկացած սակավաթեք թաղանթի դինամիկ կայունության խնդիրը, որի մոտավոր լուծման համար կիրառվել է Բուբնով-Գալերկինի մեթոդը: Խնդիրը բերվում է Մատյե-Հիլլի հավասարմանը: Բերված են միաշերտ սակավաթեք թաղանթի հաշվարկների արդյունքները հողակապային ամրակցման դեպքում:

S.Kh. Gevorkyan, A.M. Arustamyan

To the Problem of Dynamic Stability of Orthotropic Declivous Shell

In proposed work a problem of declivous shells dynamic stability, formed from orthotropic layers is considered. Bubnov-Galerkin's method is applied for the solution of this problem. The problem is reduced to Mathieu-Hill's equation. The results of calculations of jointly supported monolayer declivous shell are brought.

В предлагаемой работе рассматривается задача динамической устойчивости пологой оболочки, составленной из ортотропных слоев, для приближенного решения которой применен метод Бубнова-Галеркина. Задача сводится к уравнению Матье-Хилла. Приведены результаты вычислений для однослойной пологой оболочки при шарнирном опирании.

Теории слоистой анизотропной пластинки и оболочек посвящено множество работ. Основные результаты обобщены в монографиях, обзорных статьях и фундаментальных работах Амбарцумяна С.А., Алфутова Н.А., Багдасаряна Г.Е., Болотина В.В., Васильева В.В., Гнуни В.Ц., Образцова И.Ф. и др. [1-7].

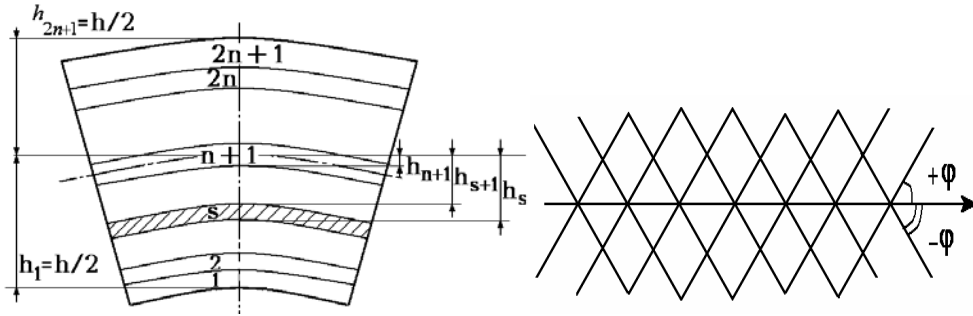
Рассматривается задача динамической устойчивости пологой цилиндрической оболочки с радиусом  $R$ , толщиной  $h$ , размерами в плане  $a$  и  $b$ , составленными из  $(2n + 1)$  симметрично расположенных относительно срединной поверхности слоев, изготовленных путем поочередной укладки элементарных слоев композиционного материала под углами  $\pm \varphi_s$  ( $s = 1, 2, \dots, 2n + 1$ ) к оси цилиндра. Такая оболочка считается слоистой, составленной из нечетного числа однородных ортотропных слоев (фиг.1)

Обозначим соответствующие упругие константы через  $E_1, E_2, \nu_{12}, \nu_{21}, G_{12}$ . Упругие характеристики элементарного слоя определяются по формулам [2]:

$$B_{11}^0 = \frac{E_1}{1 - \nu_{12}\nu_{21}}, B_{22}^0 = \frac{E_2}{1 - \nu_{12}\nu_{21}}, B_{12}^0 = \frac{\nu_{12}E_2}{1 - \nu_{12}\nu_{21}}, B_{11}^0 = \frac{\nu_{21}E_1}{1 - \nu_{12}\nu_{21}}, B_{66}^0 = G_{12}$$

Уравнения устойчивости пологой слоистой ортотропной цилиндрической оболочки, сжимаемой силой  $P_1(t) = P_{10} + P_{1r} \cdot \cos \theta t$ , записываются в виде:

$$\begin{aligned}
D_{11} \cdot \frac{\partial^4 w}{\partial x^4} + 2 \cdot (D_{12} + 2D_{66}) \cdot \frac{\partial^4 w}{\partial x^2 \partial y^2} + D_{22} \cdot \frac{\partial^4 w}{\partial y^4} - \frac{1}{R} \cdot \frac{\partial^2 \Phi}{\partial x^2} + P_1(t) \cdot \frac{\partial^2 w}{\partial x^2} + \rho h \cdot \frac{\partial^2 w}{\partial t^2} &= 0 \\
a_{11} \cdot \frac{\partial^4 \Phi}{\partial x^4} + (a_{66} - 2a_{12}) \cdot \frac{\partial^4 \Phi}{\partial x^2 \partial y^2} + a_{11} \cdot \frac{\partial^4 \Phi}{\partial y^4} + \frac{1}{R} \cdot \frac{\partial^2 w}{\partial x^2} &= 0
\end{aligned} \quad (1)$$



Фиг.1 Расположение ортотропных слоев оболочки.

где  $\rho$  – плотность композиционного материала (КМ),  $w(x, y, t)$  – функция прогиба,  $\Phi(x, y, t)$  – функция усилий,  $B_{ij}$  – упругие характеристики, выражаемые через упругие характеристики элементарного слоя  $B_{ij}^0$  по формулам [2]:

$$\begin{aligned}
B_{11} &= B_{11}^0 \cdot \cos^4 \varphi + 2 \cdot B_3^0 \cdot \sin^2 \varphi \cdot \cos^2 \varphi + B_{22}^0 \cdot \sin^4 \varphi \\
B_{22} &= B_{11}^0 \cdot \sin^4 \varphi + 2 \cdot B_3^0 \cdot \sin^2 \varphi \cdot \cos^2 \varphi + B_{22}^0 \cdot \cos^4 \varphi \\
B_{12} &= B_{12}^0 + (B_{11}^0 + B_{22}^0 - 2 \cdot B_3^0) \cdot \sin^2 \varphi \cdot \cos^2 \varphi \\
B_{66} &= B_{66}^0 + (B_{11}^0 + B_{22}^0 - 2 \cdot B_3^0) \cdot \sin^2 \varphi \cdot \cos^2 \varphi \\
B_3^0 &= B_{12}^0 + 2 \cdot B_{66}^0
\end{aligned} \quad (2)$$

$a_{ik}$  определяются по формулам:

$$a_{11} = \frac{C_{11}}{\Omega}, \quad a_{22} = \frac{C_{22}}{\Omega}, \quad a_{12} = \frac{C_{12}}{\Omega}, \quad a_{66} = \frac{1}{C_{66}}, \quad \text{где } \Omega = C_{11} \cdot C_{22} - C_{12}^2 \quad (3)$$

Жесткости  $D_{ik}$  и  $C_{ik}$  определяются по формулам:

$$\begin{aligned}
D_{ik} &= \frac{2}{3} \left( B_{ik}^{n+1} \cdot h_{n+1}^3 + \sum_{s=1}^n B_{ik}^s (h_s^3 - h_{s+1}^3) \right) \\
C_{ik} &= 2 \cdot \left( B_{ik}^{n+1} \cdot h_{n+1} + \sum_{s=1}^n B_{ik}^s (h_s - h_{s+1}) \right)
\end{aligned} \quad (4)$$

Функции прогиба и напряжений, удовлетворяющие условиям опирания, принимаются в виде:

$$w(x, y, t) = \sum_{m=1}^{\infty} \sum_{n=1}^{\infty} U_m(x) \cdot V_n(y) \cdot w_{mn}(t) \quad (5)$$

$$\Phi(x, y, t) = \sum_{m=1}^{\infty} \sum_{n=1}^{\infty} X_m(x) \cdot Y_n(y) \cdot \Phi_{mn}(t)$$

где  $m, n$  – числа полуволн по осям  $Ox$  и  $Oy$ ,  $U_m(x)$  и  $V_n(y)$  – фундаментальные балочные функции собственных колебаний, удовлетворяющие условиям опирания.

После подстановки выражений (5) в уравнения (1), на основании метода Бубнова-Галеркина, получим уравнение Матье-Хилла:

$$w_{mn}'' + \Omega_{mn}^2 (1 - 2\mu \cos \theta t) w_{mn} = 0 \quad (6)$$

где 
$$\Omega_{mn}^2 = \omega_{mn}^2 \left[ 1 - \frac{P_{10}}{P_{1mn}^*} \right], \quad \mu = \frac{P_{1t}}{2(P_{1mn}^* - P_{10})}$$

$$\omega_{mn}^2 = \frac{I_1'}{I_0 \rho h} + \frac{I_2' I_2}{I_0 I_1 \rho h}$$

$$I_1 = \int_0^a \int_0^b (a_{22} X_m^{IV} Y_n + (a_{66} - 2a_{12}) X_m'' Y_n'' + a_{11} X_m Y_n^{IV}) X_m Y_n dx dy$$

$$I_1' = \int_0^a \int_0^b (D_{11} U_m^{IV} V_n + 2(D_{12} + 2D_{66}) U_m'' V_n'' + D_{22} U_m V_n^{IV}) U_m V_n dx dy$$

$$I_2 = - \int_0^a \int_0^b \frac{1}{R} U_m'' V_n X_m Y_n dx dy, \quad I_2' = - \int_0^a \int_0^b \frac{1}{R} X_m'' Y_n U_m V_n dx dy$$

$$I_0 = \int_0^a \int_0^b U_m^2 V_n^2 dx dy, \quad I_4 = \int_0^a \int_0^b U_m'' V_n U_m V_n dx dy$$

Границы первых трех областей неустойчивости определяются следующими приближенными формулами:

$$\theta_* = 2\Omega \sqrt{1 \pm \mu}, \quad \theta_* = \Omega \sqrt{1 + \frac{1}{3} \mu^2}, \quad \theta_* = \Omega \sqrt{1 - 2\mu^2}, \quad \theta_* = \frac{2}{3} \Omega \sqrt{1 - \frac{9\mu^2}{8 \pm 9\mu}} \quad (7)$$

Из (7) видно, что ширина областей динамической неустойчивости убывает с увеличением номера области  $\Delta\theta/2\Omega \approx \mu, \mu^2, \mu^3, \dots$

2. В качестве примера рассмотрим сжимаемую осевой силой  $P_1(t) = P_{10} + P_{1t} \cdot \cos \theta t$  однослойную ( $n = 0$ ) пологую оболочку из композиционного материала с характеристиками:

$$B_{22}^0 / B_{11}^0 = 0.616, \quad B_{12}^0 / B_{11}^0 = 0.12, \quad B_{66}^0 / B_{11}^0 = 0.157$$

и со следующими параметрами:

$$c = b/R = 0.25\pi, \quad e = h/b = 0.020, \quad P_t/P_0 = 0.3, \quad P_0/P_{1mn}^* = 0.4, \quad \varphi = 0^0, 5^0, \dots, 90^0$$

Жесткости  $D_{ik}$  и  $C_{ik}$  для однослойной пологой оболочки определяются по формулам:

$$D_{ik} = B_{ik} \cdot \frac{h^3}{12}, \quad C_{ik} = B_{ik} \cdot h \quad (8)$$

Для шарнирно опертой по контуру полой оболочки балочные функции и собственные значения имеют вид:

$$U_m(y) = \sin \lambda_m x, V_n(y) = \sin \mu_n y, \mu_n = n\pi/b, \lambda_m = m\pi/a \quad (m=1\dots 3, n=1\dots 3) \quad (9)$$

На основании метода Бубнова-Галеркина получим уравнение Матве-Хилла:

$$w_{mn}'' + \Omega_{mn}^2 (1 - 2\mu \cos \theta t) w_{mn} = 0 \quad (10)$$

где

$$\Omega_{mn}^2 = \omega_{mn}^2 \left[ 1 - \frac{P_{10}}{P_{1mn}^*} \right], \quad \mu = \frac{P_{1t}}{2(P_{1mn}^* - P_{10})}$$

$$\omega_{mn}^2 = \frac{1}{\rho h} \left( D_{11} \lambda_m^4 + 2(D_{12} + 2D_{66}) \lambda_m^2 \mu_n^2 + D_{22} \mu_n^4 + \frac{\lambda_m^4}{R^2 A_{mn}} \right)$$

$$P_{mn}^* = \frac{1}{\mu_n^2} \left( D_{11} \lambda_m^4 + 2(D_{12} + 2D_{66}) \lambda_m^2 \mu_n^2 + D_{22} \mu_n^4 + \frac{\lambda_m^4}{R^2 A_{mn}} \right)$$

$$A_{mn} = a_{22} \lambda_m^4 + (a_{66} + 2a_{12}) \lambda_m^2 \mu_n^2 + a_{11} \mu_n^4$$

Введем безразмерные величины:

$$\tilde{\omega}_{mn}^2 = \omega_{mn}^2 \frac{12\rho h b^4}{\pi^4 h^2 B_{11}^0}, \quad \tilde{P}_{1mn}^* = \frac{12b^2}{\pi^2 h^3 B_{11}^0} P_{1mn}^*$$

В табл. 1 приведены результаты вычислений максимальных значений безразмерных величин критической силы  $P_{mn}$ , низшей частоты  $\omega_{mn}$  незагруженной оболочки и низшей частоты  $\Omega_{mn}$  загруженной оболочки.

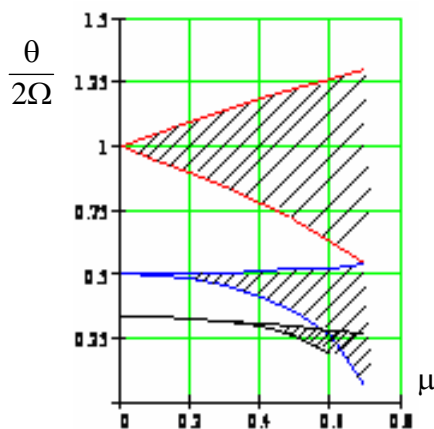
Таблица 1

| $d = a/b$ | $\max_{\varphi} \min_{m,n} \tilde{\omega}_{mn}$ | $\max_{\varphi} \min_{m,n} \tilde{\Omega}_{mn}$ | $\max_{\varphi} \min_{m,n} \tilde{P}_{1mn}^*$ | $\varphi$  |
|-----------|-------------------------------------------------|-------------------------------------------------|-----------------------------------------------|------------|
| 1/4       | $\omega_{13} = 79.232$                          | $\Omega_{13} = 61.373$                          | $P_{13} = 636.059$                            | $40^\circ$ |
| 1/3       | $\omega_{13} = 62.590$                          | $\Omega_{13} = 48.482$                          | $P_{13} = 396.921$                            | $45^\circ$ |
| 1/2       | $\omega_{13} = 37.966$                          | $\Omega_{13} = 29.408$                          | $P_{13} = 146.047$                            | $55^\circ$ |
| 1         | $\omega_{13} = 15.036$                          | $\Omega_{13} = 11.646$                          | $P_{13} = 22.905$                             | $75^\circ$ |
| 2         | $\omega_{12} = 8.273$                           | $\Omega_{12} = 6.408$                           | $P_{12} = 6.935$                              | $85^\circ$ |
| 3         | $\omega_{12} = 5.327$                           | $\Omega_{12} = 4.127$                           | $P_{12} = 2.876$                              | $90^\circ$ |
| 4         | $\omega_{12} = 4.501$                           | $\Omega_{12} = 3.487$                           | $P_{12} = 2.053$                              | $90^\circ$ |

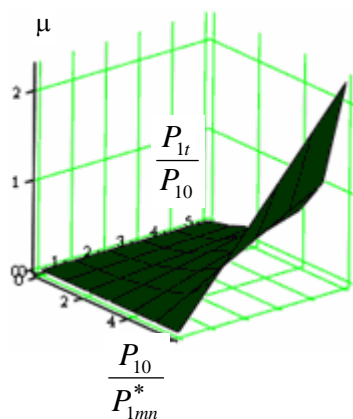
На фиг.2 показано распределение первых трех областей неустойчивости для уравнения Матье-Хилла (10) на плоскости  $(\theta/2\Omega, \mu)$ .

На фиг.3 показано изменение коэффициента возбуждения ( в зависимости от соотношений  $P_{1r}/P_{10} = 0 \dots 0.5$ ,  $P_{10}/P_{1mn}^* = 0 \dots 0.9$ ).

На фиг.4 показано изменение критической силы в зависимости от угла укладки слоя композиционного материала.



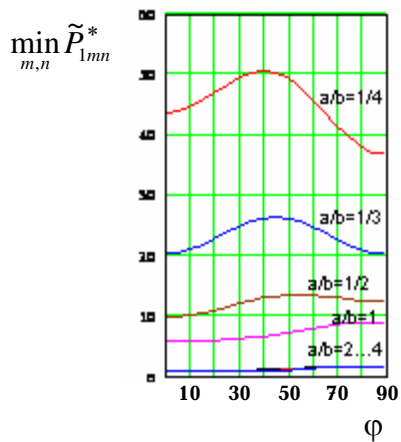
Фиг.2 Распределение областей неустойчивости



Фиг.3

Зависимость коэффициента возбуждения от соотношений

$$P_{1r}/P_{10} \text{ и } P_{10}/P_{1mn}^*.$$



Фиг.4

Изменение критической силы в зависимости от угла укладки слоя КМ.

#### ЛИТЕРАТУРА

1. Алфутов Н.А. Основы расчета на устойчивость упругих систем. М.: Машиностроение, 1991. 336с.
2. Амбарцумян С.А. Общая теория анизотропных оболочек. М.: Наука, 1974. 448с.
3. Багдасарян Г.Е., Гнуни В.Ц. Динамическая устойчивость анизотропной замкнутой цилиндрической оболочки. //Докл. АН АрмССР. 1965. Т. 41. № 5. С. 278–281.
4. Болотин В.В. Динамическая устойчивость упругих систем. М.: Гостехиздат, 1956. 600с.
5. Васильев В.В. Механика конструкций из композиционных материалов. М.: Машиностроение, 1988. 272с.
6. Гнуни В.Ц. К теории динамической устойчивости слоистых анизотропных оболочек. // Изв. АН АрмССР. Сер. физ.-мат. наук. 1960. Т.13. № 1. С. 47–58.
7. Образцов И.Ф. Строительная механика летательных аппаратов. М.: Машиностроение, 1986. 536с.

Государственный Инженерный  
Университет Армении  
21.11.2006

Поступила в редакцию